

Tangra™ M Pro

520-540W

Monokrystaliczny Bifacjalny Moduł Double Glass N-type



Technologia bifacial umożliwia dodatkowe pozyskiwanie energii z tylnej strony modułu (do 30%)



30-letnia żywotność zapewnia dodatkowe 10-30% mocy w porównaniu z konwencjonalnym modułem P-type



Ogniwa N-type posiadają niższą degradację świetlną, co w oczywisty sposób wpływa na uzyski



Doskonała wydajność przy niskim natężeniu promieniowania



Lepsze wychwytywanie światła i jego konwersja na prąd elektryczny w celu zwiększenia mocy i niezawodności



Jeden z najniższych na rynku współczynników temperaturowych mocy



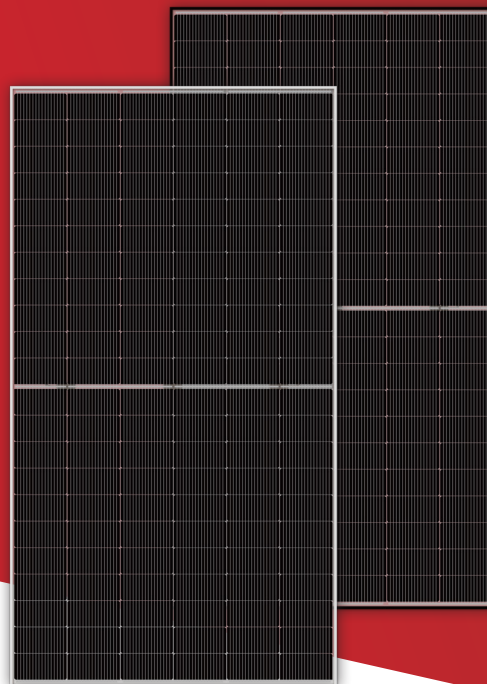
Zoptymalizowana konstrukcja elektryczna i niższy prąd roboczy dla uzyskania lepszego współczynnika temperaturowego i w celu zmniejszenia ryzyka występowania hot spotów



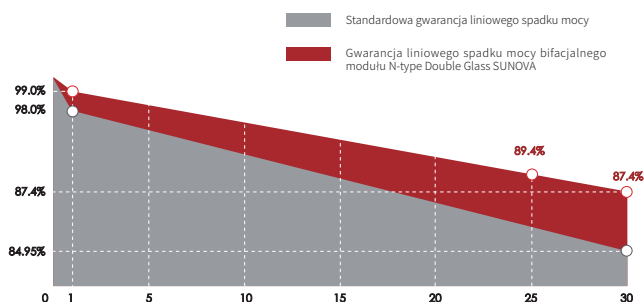
Maksymalne obciążenie statyczne
Ciśnienie śniegu: 5400 Pa
Ciśnienie wiatru: 2400 Pa



Pełne potrójne testy EL dla maksymalnej redukcji mikropęknięć oraz możliwość wglądu w te testy oraz zdjęcia



GWARANCJA LINIOWA



15 Lat

Gwarancja na wykonanie produktu

30 Lat

Gwarancja liniowego spadku mocy

0.40 %

Roczna degradacja w okresie 30 lat

KOMPLEKSOWE CERTYFIKATY



ISO 9001: Norma zarządzania jakością

ISO 14001: Norma zarządzania środowiskowego

ISO 45001: Norma zarządzania systemem BHP

SA 8000: 2014 Społeczna odpowiedzialność

* Różne rynki wymagają różnej certyfikacji. Równocześnie, nasze produkty podlegają ciągłym innowacjom. Proszę o potwierdzenie certyfikacji z regionalnym przedstawicielem sprzedaży.

UBEZPIECZENIE EFEKTYWNOŚCI



*Opcjonalne ubezpieczenie gwarancji.
Skontaktuj się z nami, aby uzyskać więcej informacji.

CHARAKTERYSTYKA ELEKTRYCZNA

Typ modułu	SS-BG520-66MDH(T)		SS-BG525-66MDH(T)		SS-BG530-66MDH(T)		SS-BG535-66MDH(T)		SS-BG540-66MDH(T)	
	STC	NOCT	STC	NOCT	STC	NOCT	STC	NOCT	STC	NOCT
Moc maksymalna — P_{mp} (W)	520	387	525	391	530	395	535	399	540	402
Napięcie obwodu — V_{oc} (V)	46.13	43.54	46.34	43.74	46.65	44.04	46.86	44.23	46.90	44.27
Prąd zwarciovowy — I_{sc} (A)	14.00	11.31	14.03	11.34	14.07	11.37	14.14	11.42	14.26	11.52
Napięcie w punkcie mocy maksymalnej — V_{mp} (V)	39.38	36.86	39.51	36.99	39.65	37.12	39.89	37.34	40.09	37.53
Prąd w punkcie mocy maksymalnej — I_{mp} (A)	13.20	10.50	13.29	10.58	13.37	10.64	13.42	10.68	13.47	10.72
Sprawność modułu — η_m (%)	21.90		22.11		22.32		22.53		22.74	

STC (Ustandaryzowane warunki testu): natężenie promieniowania słonecznego 1000 W/m², temperatura ogniwa 25 °C, widmo AM1.5

NOCT (Nominalna temperatura pracy ogniwa): natężenie promieniowania słonecznego 800 W/m², temperatura otoczenia 20 °C, widmo AM1.5, wiatr 1 m/s

WARTOŚĆ DODANA NASZYCH PRODUKTÓW (Z UWZGLĘDNIENIEM 13.5% PROMIENIOWANIA ODBITEGO)

Moc maksymalna (P_{max}) (W)	576	582	587	593	598
Napięcie obwodu (V_{oc}) (V)	46.13	46.34	46.65	46.86	46.90
Prąd zwarciovowy (I_{sc}) (A)	15.51	15.55	15.59	15.67	15.80
Napięcie w punkcie mocy maksymalnej (V_{mp}) (V)	39.38	39.51	39.65	39.89	40.09
Prąd w punkcie mocy maksymalnej (I_{mp}) (A)	14.63	14.73	14.81	14.87	14.92

CHARAKTERYSTYKA PRODUKTU

Wymiary produktu (dł*sz*wys)	2094x 1134 x 35 mm
Waga	28.5 kg
Ogniwo	132 ogniw, N-type Monocrystalline
Szyba przednia	2.0 mm hartowane szkło z antyrefleksem
Szyba tylna	2.0 mm hartowane szkło
Rama	Anodowany stop aluminium (srebrny/czarny)
Puszka przyłączeniowa	IP68, 3 diody obejściowe
Przewód	4.0 mm ²
Długość przewodu	300mm / 1200mm lub na życzenie dłuższy
Konektory	Kompatybilne z MC4
Konfiguracja pakowania	31 szt./paleta, 682 szt./40' HQ

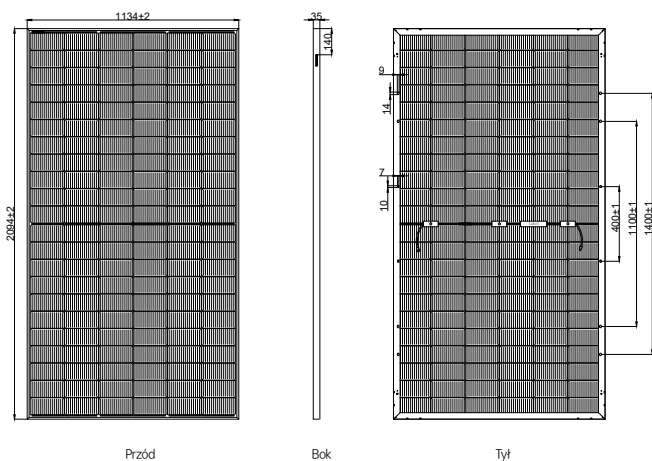
PARAMETRY PRACY

Tolerancja mocy (W)	(0,+5)
Maksymalne napięcie systemu (V)	1500
Maksymalny prąd nominalny dla połączenia szeregowego (A)	30
Temperatura pracy (°C)	-40~+85 °C
Maksymalne obciążenie	5400 Pa / 2400 Pa

WSKAŹNIKI TEMPERATUROWE

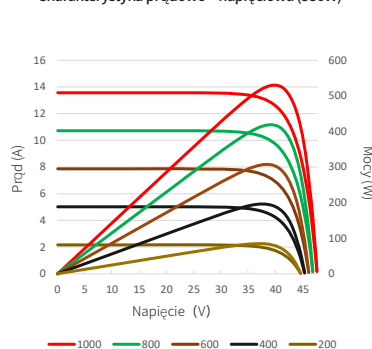
Współczynnik temperaturowy (P_{max})	-0.30 %/°C
Współczynnik temperaturowy (V_{oc})	-0.28 %/°C
Współczynnik temperaturowy (I_{sc})	+0.04 %/°C
Nominalna temperatura pracy	43±2 °C

WYMIARY MODUŁU (mm)



* Nieoznaczona tolerancja wynosi ±1 mm, Długość podana w mm.

Charakterystyka prądowo – napięciowa (530W)



Charakterystyka zmiany mocy w funkcji temperatury ogniwa

